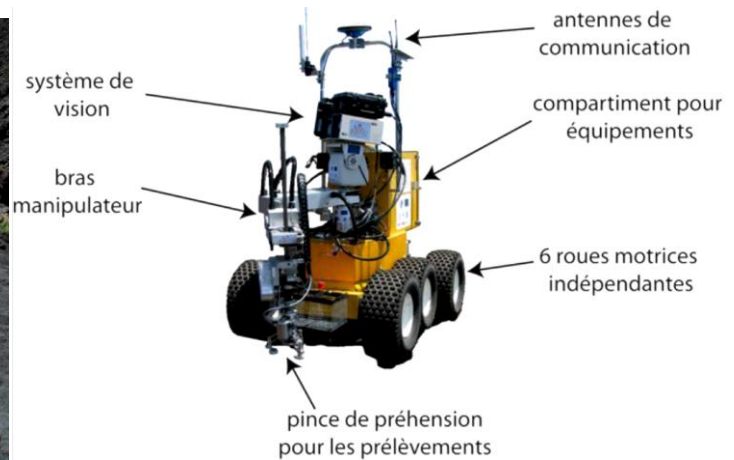


## Robot d'exploration volcanique



### Étude du bras manipulateur

Le package scientifique équipant ROBOVOLC est formé d'un bras manipulateur et d'une pince servant d'effecteur pour collecter des échantillons rocheux et poser/prendre des instruments sur le sol. Ces organes sont pilotés par des moteurs à courant continu contrôlés par des modules électroniques.

Le système est en outre constitué d'un système d'échantillonnage des gaz (avec sonde) qui ne sera pas étudié ici.

**L'objectif de cette partie est de vérifier les efforts et de vérifier leur compatibilité avec le critère suivant du cahier des charges :**

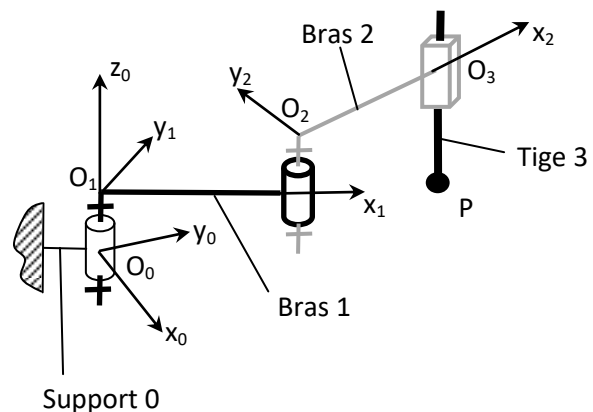
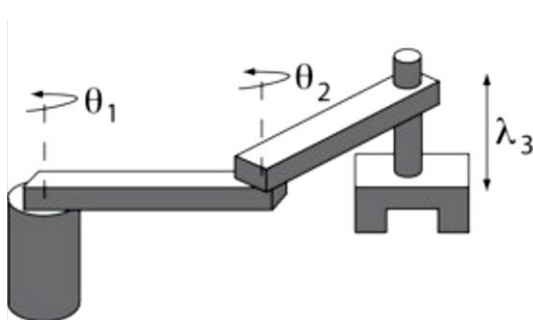
**Extrait du cahier des charges :** masse maximale des objets à saisir 2,5 kg

### Modélisation du système

Le bras manipulateur est de type SCARA (*Selective Compliance Assembly Robot Arm*) ; c'est un système mécanique poly-articulé avec trois axes parallèles et une architecture en série (Figure ci-dessous). Il présente plusieurs avantages, notamment sa précision, sa rapidité, et sa très grande rigidité verticale.

L'ensemble est constitué de trois pièces assimilées à des solides indéformables :

- le bras 1, de masse  $m_1$ , animé par un moteur en rotation en  $O_1$  et auquel on associe un repère  $(O_1, \vec{x}_1, \vec{y}_1, \vec{z}_1)$ ;
- le bras 2, de masse  $m_2$ , animé par un moteur en rotation en  $O_2$  et auquel on associe un repère  $(O_2, \vec{x}_2, \vec{y}_2, \vec{z}_2)$ ;
- la tige 3 animée par un moteur en translation et au bout de laquelle se situe la pince et éventuellement l'objet saisi. La masse  $m_3$  de ce sous-ensemble est supposée ponctuelle au point  $P$  correspondant à la position de la pince.



Dans cette étude, le châssis de ROBOVOLC constitue le bâti 0 auquel on associe un repère (fixe)  $(O_0, \vec{x}_0, \vec{y}_0, \vec{z}_0)$ . On suppose par la suite que le sol est plan et horizontal ; la direction  $\vec{z}_0 = \vec{z}_1 = \vec{z}_2$  correspond donc à la verticale. On suppose également que le référentiel lié au bâti est galiléen.

L'accélération de la pesanteur est telle que :  $\vec{g} = -g \vec{z}_0$

Le positionnement horizontal de la pince dans le plan  $(O_0, \vec{x}_0, \vec{y}_0)$  est obtenu par deux rotations indépendantes :

- celle du bras 1 en liaison pivot d'axe  $(O_1, \vec{z}_0)$  par rapport au bâti 0, on note  $\theta_1 = (\vec{x}_0, \vec{x}_1)$  l'angle correspondant ;
- celle du bras 2 en liaison pivot d'axe  $(O_2, \vec{z}_0)$  par rapport au bras 1, on note  $\theta_2 = (\vec{x}_1, \vec{x}_2)$  l'angle correspondant.

Le positionnement vertical de la pince est quant à lui obtenu par une liaison glissière de direction  $\vec{z}_0$  entre la tige 3 et le bras 2.

Toutes les liaisons sont supposées parfaites.

On note :  $\vec{O}_0\vec{O}_1 = d_1\vec{z}_0$  ;  $\vec{O}_1\vec{O}_2 = L_1\vec{x}_1 + d_2\vec{z}_0$  ;  $\vec{O}_2\vec{P} = L_2\vec{x}_2 - \lambda_3\vec{z}_0$  ;

$G_1$  : centre de gravité du bras 1 avec :  $\vec{O}_1\vec{G}_1 = \frac{L_1}{2}\vec{x}_1$

$G_2$  : centre de gravité du bras 2 avec :  $\vec{O}_2\vec{G}_2 = \frac{L_2}{2}\vec{x}_2$

Les 3 degrés de liberté du bras sont donc  $\theta_1$ ,  $\theta_2$  et  $\lambda_3$ .

Le débattement permis pour les deux liaisons pivot est  $\pm 150^\circ$  (limitation par des butées).

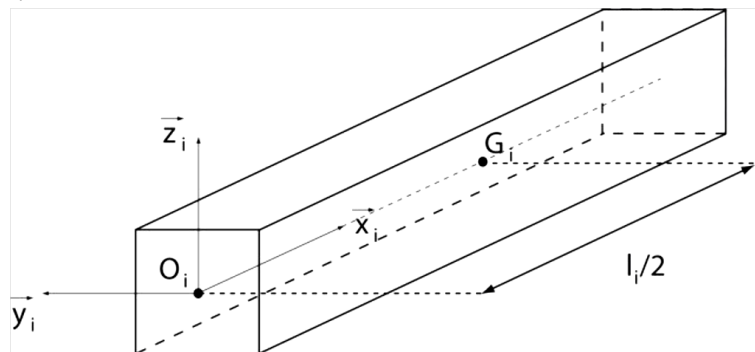
On donne de plus :

$d_1 = 500$  mm,  $d_2 = 30$  mm,  $L_1 = 500$  mm,  $L_2 = 500$  mm,  $m_1 = 2$  kg,  $m_2 = 2$  kg,  $m_3 = 6$  kg (incluant un objet saisi de masse 2,5 kg).

### Dans cette sous-partie, on construit un modèle dynamique du bras manipulateur.

On suppose que chaque bras  $i$  peut être modélisé géométriquement par un parallélépipède rectangle de génératrice  $\vec{x}$  et à base carrée dans les directions  $\vec{y}$  et  $\vec{z}$  (voir figure ci-après).

On suppose de plus que le bras est homogène ; son centre de gravité  $G_i$  correspond donc au centre géométrique avec  $\vec{O}_i\vec{G}_i = \frac{L_i}{2}\vec{x}_i$



On donne l'écriture générale de la matrice d'inertie du bras  $i$  au point  $G_i$  :

$$I(i, G_i) = \begin{bmatrix} A_i & -F_i & -E_i \\ -F_i & B_i & -D_i \\ -E_i & -D_i & B_i \end{bmatrix}_{(\vec{x}_i, \vec{y}_i, \vec{z}_i)}$$

1) A partir de l'expression générale précédente, préciser les termes de la matrice d'inertie  $I(i, G_i)$  du bras  $i$  qui sont nuls en le justifiant ( en prenant en compte sa modélisation géométrique).

2) Calculer les vitesses  $\vec{V}_{G_1 \in 1/0}$ ,  $\vec{V}_{G_2 \in 2/0}$  et accélérations  $\vec{\Gamma}_{G_1 \in 1/0}$ ,  $\vec{\Gamma}_{G_2 \in 2/0}$  des points  $G_1$  et  $G_2$  dans leur mouvement par rapport au bâti 0 en fonction des paramètres variables ( $\theta_1$ ,  $\theta_2$ ) et des dimensions constantes.

3) Calculer la vitesse  $\vec{V}_{P \in 3/0}$  et l'accélération  $\vec{\Gamma}_{P \in 3/0}$  dans leur mouvement par rapport au bâti 0 en fonction des paramètres variables ( $\theta_1$ ,  $\theta_2$ ,  $\lambda_3$ ) et des dimensions constantes.

On rappelle que la **masse**  $m_3$  du sous-ensemble (3) est supposée **ponctuelle au point P**

4) Calculer le moment cinétique en  $O_2$  des solides (2) et (3) par rapport à (0)  $\overrightarrow{\sigma}_{O_2(2)/0}$  et  $\overrightarrow{\sigma}_{O_2(3)/0}$

5) Calculer le moment dynamique en  $O_2$  du solide (2) rapport à (0)  $\overrightarrow{\delta}_{O_2(2)/0}$  et  $\overrightarrow{\delta}_{O_2(3)/0}$

6) Calculer le moment dynamique en  $O_2$  du solide (3) rapport à (0) en projection sur  $\vec{z}_0$  :  $\overrightarrow{\delta}_{O_2(3)/0} \cdot \vec{z}_0$

On cherche à déterminer l'expression du couple moteur  $\tau_2$  dans la liaison pivot d'axe  $(O_2, \vec{z}_0)$  en fonction de  $\theta_1, \theta_2, \dot{\theta}_1, \dot{\theta}_2, \ddot{\theta}_1, \ddot{\theta}_2$  et des données du problème

7) Appliquer le théorème du moment dynamique à l'ensemble  $\{2, 3\}$  puis établir l'expression du couple moteur  $\tau_2$  dans la liaison pivot d'axe  $(O_2, \vec{z}_0)$  en fonction de  $\theta_1, \theta_2, \dot{\theta}_1, \dot{\theta}_2, \ddot{\theta}_1, \ddot{\theta}_2$  et des données du problème

8) Calculer le moment dynamique en  $O_1$  des solides (1), (2) et (3) par rapport à (0)  $\overrightarrow{\delta}_{O_1(1)/0}, \overrightarrow{\delta}_{O_1(2)/0}$  et  $\overrightarrow{\delta}_{O_1(3)/0}$

9) Appliquer le théorème du moment dynamique à l'ensemble  $\{1, 2, 3\}$  puis établir l'expression du couple moteur  $\tau_1$  dans la liaison pivot d'axe  $(O_1, \vec{z}_0)$  en fonction de  $\theta_1, \theta_2, \dot{\theta}_1, \dot{\theta}_2, \ddot{\theta}_1, \ddot{\theta}_2$  et des données du problème

On cherche à déterminer l'expression de  $\dot{\lambda}_3$  en fonction des actions qui sont appliquées à (3)

10) Isoler (3), faire le bilan des actions qui lui sont appliquées puis appliquer le théorème de la résultante dynamique et établir l'équation donnant l'expression de  $\dot{\lambda}_3$  en fonction des actions qui sont appliquées à (3)